

с помощью соотношений (1) и (2) (кривые 1 и 2), а также экспериментальная зависимость $K_{p\max}$ (кривая 3). Из графиков следует, что характер аналитических зависимостей при обеих аппроксимациях близок к экспериментальной зависимости. Выражения (1) и (2) дают некоторый запас при расчете $K_{p\text{уст}}$.

Несмотря на различие в значениях $K_{p\text{уст}}$, полученных путем расчета по соотношениям (1), (2) и по данным эксперимента, выражения (1) и (2) могут быть, по нашему мнению, рекомендованы для расчетов систем АПЧ, использующих в качестве управляющих элементов пьезокорректоры различных конструкций. Для расчетов необходимо знать постоянную времени (инерционность) пьезокорректора, частоту и добротность первого резонанса.

ЛИТЕРАТУРА

1. Басов Н. Г.; Беленов Э. М., Данилевко М. В., Никитин В. В. Резонансы мощности и стабилизация частоты газового лазера с нелинейно-поглощающей ячейкой.— «Квантовая электроника», 1971, № 1, с. 42.
2. Галутва Г. В., Рязанцев А. И. Селекция типов колебаний и стабилизация частоты оптических квантовых генераторов. М. «Связь», 1972.
3. Ханов В. А. Пьезокерамика как элемент цепи регулирования. — «Автометрия», 1974, № 6, с. 105.
4. Кикuchi Е. Ультразвуковые преобразователи. М., «Мир», 1972.

Поступило в редакцию 26 мая 1977 г.
окончательный вариант — 15 сентября 1977 г.

УДК 621.378

А. Г. ПОЛЕЩУК, А. К. ХИМИЧ

(Новосибирск)

АВТОМАТИЧЕСКОЕ ПОЗИЦИОНИРОВАНИЕ СЧИТЫВАЮЩЕГО ЛУЧА В ОПТИЧЕСКОМ ЗАПОМИНАЮЩЕМ УСТРОЙСТВЕ

Одним из основных факторов, определяющих плотность записи в оптических запоминающих устройствах (ОЗУ), является точность позиционирования записывающего и считывающего светового пятна на поверхности носителя информации. Для автоматического позиционирования в ОЗУ обычно предусматриваются две системы: слежения за информационной дорожкой и поддержания плоскости фокусировки строго на поверхности носителя. Следование за дорожкой осуществляют с помощью корректирующего ход лучей зеркала, соединенного с датчиком, вырабатывающим сигнал радиальной ошибки (в случае, если носитель — диск) [1]. Для поддержания плоскости фокусировки на поверхности носителя при его торцевых биениях наиболее часто используют автоматическую фокусировку микрообъектива [2, 3], которая осуществляется перемещением микробольца исполнительным механизмом, управляемым от фотоэлектрического датчика расфокусировки [4].

К недостатку этого метода следует отнести ограниченное быстродействие, обусловленное большой массой перемещаемого микрообъектива. Кроме того, в процессе работы микрообъектива подвергается воздействию вибраций с большой амплитудой ($\sim 0,25$ мм) в диапазоне частот до 250 Гц. В результате резко снижается надежность работы ОЗУ вследствие возможного выхода из строя... (или ухудшения качества работы) его основного узла — фокусирующего микрообъектива.

В настоящей работе описывается ОЗУ, снабженное системой автоматической фокусировки, свободной от перечисленных недостатков. Фокусировка излучения и слежение за дорожкой осуществляются одним и тем же исполнительным элементом, что значительно упрощает конструкцию.

Схема устройства приведена на рис. 1. В режиме считывания информации световой поток от маломощного Не-Не лазера 1 ($P_0=0,5$ мВт) расширяется объективом 2, проходит светофильтральное зеркало 3 и поступает к объективу 4. Объектив 4 фокусирует световой поток внутри двугранного углкового отражателя 5, являющегося исполнительным элементом системы автоматической фокусировки и слежения за дорожкой. Отразившись от обеих граней углкового отражателя, световой поток коллимируется объективом 6 и поступает через поворотное зеркало 7 на вход фокусирующего микрообъектива 8. Затем световой поток фокусируется на поверхность подвижного носителя 9. Отраженная

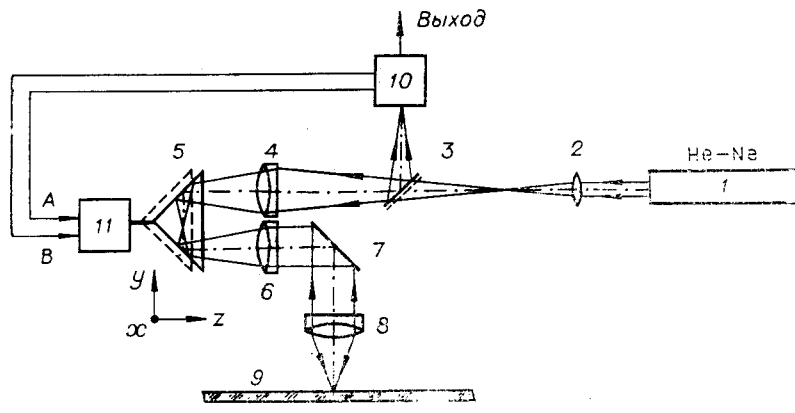


Рис. 1.

от поверхности часть светового потока (промодулированная записанной на носителе информацией) воспринимается микрообъективом 8 и через оптические элементы схемы (3—8) поступает в блок фотоприемников 10. Здесь вырабатываются сигналы ошибки наведения на информационную дорожку и расфокусировки, которые подаются на входы А и В блока управления 11 положением углкового отражателя в пространстве. Перемещение отражателя вдоль оси z вызывает смещение плоскости фокусировки микрообъектива 8, а наклон в плоскости xoz (перпендикулярно плоскости рисунка) приводит к смещению точки фокусировки в плоскости носителя 9. Оба этих перемещения производятся, как будет показано ниже, независимо друг от друга.

Схема управления углковым отражателем приведена на рис. 2. При подаче на вход А напряжения ошибки расфокусировки с блока фотоприемников ток в катушках L_1 и L_2 изменяется синфазно, вследствие чего отражатель 5 перемещается вдоль оси z (на рис. 1, 2 перемещение отмечено штриховой линией). Напряжение радиальной ошибки, подаваемое на вход В, вызывает противофазное изменение токов в катушках, вследствие чего отражатель наклонится на некоторый угол к оси z.

Для определения оптимальных параметров элементов устройства и выяснения взаимного влияния цепей автоматической фокусировки и отслеживания дорожки рассмотрим эквивалентную схему хода лучей (рис. 3, а).

Объективы O_1 , O_2 , O_3 соответствуют объективам 4, 6, 8 в схеме, приведенной на рис. 1; $a—a$ и $c—c$ — линии пересечения вертикальной меридиональной плоскости с гранями отражателя («линии отражения»). Перемещение отражателя (линии $a—a$ и $c—c$) вдоль оптической оси на величину Δ (автоматическая фокусировка) вызывает изменение расстояния $b_1+b_2+b_3=d$ между объективами O_1 и O_2 на величину 2Δ . Как следует из рис. 3, а, плоскость фокусировки микрообъектива O_3 переместится на величину Δ' , равную

$$\Delta' = 2\Delta f'_3 / [f'_2 + 2\Delta (f'_2 + f'_3 - d'_2)], \quad (1)$$

где f'_2 , f'_3 — фокусные расстояния соответственно объективов O_1 , O_2 , O_3 ; d_2 — расстояние между объективами O_2 и O_3 .

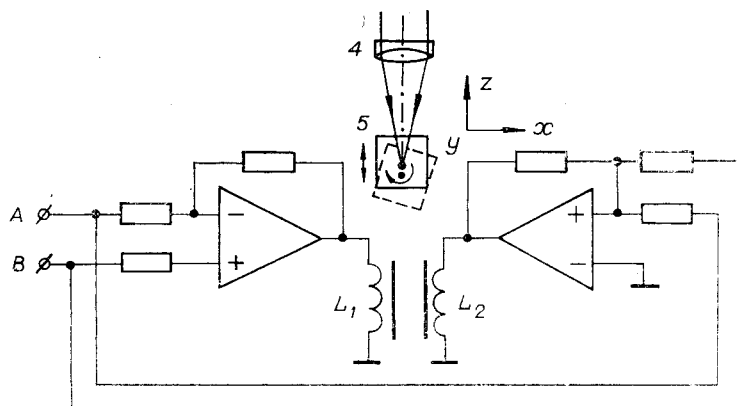


Рис. 2.

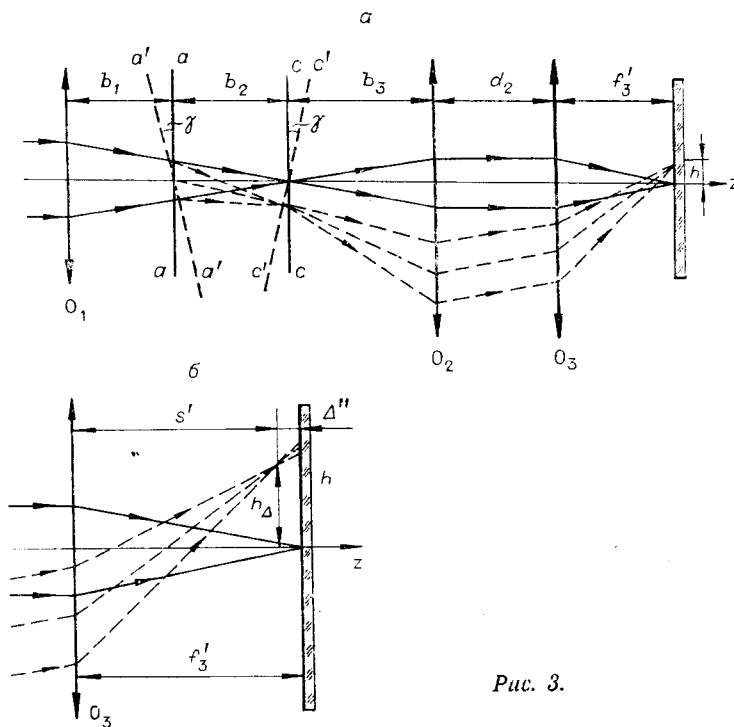


Рис. 3.

Если выбрать расстояние $d_2 = f'_2 + f'_3$, то связь между смещением отражателя и смещением плоскости фокусировки будет линейной: $\Delta' = 2\Delta f'_3/f'_2$.

Режим слежения за информационной дорожкой связан с поворотами отражателя по отношению к оптической оси. На эквивалентной схеме поворот отражателя на угол γ отображен смещением «линий отражения» $a-a$ и $c-c$ в новое положение: $a'-a'$ и $c'-c'$. Пользуясь эквивалентной схемой, можно показать, что выражение, связывающее величину угла поворота отражателя и смещение точки фокусировки лазерного излучения в плоскости носителя информации, имеет следующий вид:

$$h = -\gamma \left[2f'_3 - \frac{f'_3(b_2 + 2b_3) - 2f'_3\Delta}{f'_2} \right]. \quad (2)$$

Из выражения (2) видно, что располагать точку фокусировки объектива O_1 точно посередине между гранями отражателя не следует, так как при этом $f'_2 = b_2/2 + b_3$ и величина смещения h резко уменьшается. Целесообразно выбрать $f'_2 = b_3$, тогда выражение (2) примет следующий вид: $h = -\gamma f'_3 b_2/b_3$. В этом случае зависимость $h=f(\gamma)$ имеет максимальную крутизну.

При поворотах отражателя оптическая длина пути между объективами O_1 и O_2 изменяется (это видно из рис. 3, а), что приводит к паразитной расфокусировке и, как следствие, к взаимному влиянию цепей автоматической фокусировки и отслеживания дорожки. Определить величину расфокусировки Δ'' можно, решая систему уравнений, описывающих пути двух крайних лучей:

$$\begin{aligned} h_B &= h_{3B} - \alpha'_{3B}s'_B; \\ h_H &= h_{3H} - \alpha'_{3H}s'_H, \end{aligned} \quad (3)$$

где h_B и h_H — высоты верхнего и нижнего (крайних) лучей в плоскости их пересечения; h_{3B} и h_{3H} — высоты крайних лучей в плоскости объектива O_3 ; α'_{3B} и α'_{3H} — углы, образуемые лучами, выходящими из объектива O_3 , с оптической осью.

Из рис. 3, б видно, что $\Delta'' = f'_3 - s'$. Так как в точке фокусировки обоих лучей задание отрезки ($s'_B = s_H = s'$) и высоты над оптической осью ($h_B = h_H = h_\Delta$) одинаковы,

из выражения (3) можно определить величину s' , а пользуясь эквивалентной схемой,— значения h_{3B} , h_{3N} , α'_{3B} и α'_{3N} . Полагая $d_2 = f'_2 + f'_3$ и ограничиваясь членами, не превышающими γ^2 , находим величину расфокусировки

$$\Delta'' = -\gamma^2 \frac{f'_1 f'^2_3}{f'^2_2} \left[2 - \frac{b_2}{2f'_1} - \frac{2(b_1 + \Delta)}{f'_1} \right] \quad (4)$$

(f'_1 — фокусное расстояние объектива O_1).

Минимизировать Δ'' можно подбором расстояний b_1 и b_2 . Если $f'_1 = b_1 + b_2/4$, то остаточная расфокусировка равна $\Delta'' = 2\gamma^2 \Delta f'^2_3/f'^2_2$. Оценим величину расфокусировки для реальной схемы со следующими основными параметрами: $f'_1 = f'_2 = 20$ мм, $f'_3 = 8$ мм, $b_2 = 6$ мм. Носитель информации — диск с биениями: $\Delta' = \pm 0,1$ мм и $h = \pm 0,1$ мм. Тогда $\gamma = \pm 2^\circ$, $\Delta'' = \pm 0,5 \cdot 10^{-3}$ мм, т. е. Δ'' не превышает глубины резкости фокусирующего микрообъектива ($l = 2 \cdot 10^{-3}$ мм).

Быстродействие системы автоматической фокусировки ограничивается частотой собственного резонанса подвижной части исполнительного механизма.

Предложенная схема ОЗУ реализует простой и эффективный способ увеличения частоты собственного резонанса путем уменьшения массы подвижной части. Замена перемещаемого микрообъектива двугранным уголковым отражателем (прямоугольной призмой) позволяет увеличить резонансную частоту, а следовательно, и быстродействие приблизительно в $\sqrt{m_1/m_2}$ раз при одинаковой жесткости подвеса, где m_1 — масса микрообъектива, m_2 — масса призмы, и уменьшить мощность, потребляемую исполнительным механизмом.

Авторами экспериментально получен пятикратный выигрыш в быстродействии при замене микрообъектива облегченной конструкции ($m_1 = 24$ г) на прямоугольную призму ($m_2 = 1$ г).

Таким образом, предложенная схема ОЗУ отличается от известных высоким быстродействием отслеживания торцевых биений носителя, простотой конструкции и возможностью использования стандартных, серийно выпускаемых микрообъективов без повышенных требований на вибропрочность. Приведенные соотношения позволяют оптимальным образом выбрать параметры элементов устройства.

ЛИТЕРАТУРА

1. Hrbek G. W. An experimental optical videodisc playback system.— "J. SMPTE", 1974, N 83, p. 580.
2. Петров В. В. Оптическое запоминающее устройство.— Авт. свид.-во, № 469140, Б. И., 1975, № 16.
3. Блохин А. С., Налимов И. П. Дисковые системы телевизионного кинематографа.— «Зарубеж. радиоэлектроника», 1975, № 8, с. 102.
4. Абокумов В. Г., Татаринов В. В. Продольное сканирование в лазерном устройстве считывания.— В кн.: Оптическая и электрооптическая обработка информации. М., «Наука», 1974.

Поступило в редакцию 25 мая 1977 г.

УДК 621.317.742 : 621.317.767

Т. Н. ГОЛОВКИНА, Н. Е. РОДИОНОВ

(Томск)

ФАЗОВАЯ ПОГРЕШНОСТЬ ДВУХЛУЧЕВОГО ИНТЕРФЕРОМЕТРА

Развитие лазерной техники поставило на повестку дня вопросы исследования статистических характеристик распространения лазерного излучения в тропосфере. Для идентификации результатов измерений необходим учет влияния измерительной аппаратуры на результаты измерений. В известных нам работах, посвященных измерению флуктуаций оптического излучения, прошедшего слой турбулентной атмосферы [1—3], вопросы анализа основных погрешностей измерений не рассматриваются.